

## 高速鉄道に用いるモバイルネットワークのための クロスレイヤ手法を用いた高速ハンドオーバ手法の提案

有田 哲也<sup>†1</sup> 寺岡 文男<sup>†1</sup>

ノードの集合であるネットワークがインターネット内を移動するネットワークモビリティが注目を集めている。本研究は300km/hで走行する高速鉄道車両に設置された移動ネットワークに対して赤外線通信を用いて1Gbpsの通信速度を提供し、IPv6における高速ハンドオーバを実現することを目指している。MO用のプロトコルとしてはMOasic Support Protocolを利用し、高速ハンドオーバ実現のためにリンク層の制御情報をネットワーク層に伝達するarbitrary Layers C L。Cross-layer control information change between et SDに実装し、実験ネットワークにおいて基本性能を測定した。その結果、提案手法が有効であることが確認できた。

### A proposal of Handover processing or a Mobile Network in High-speed Ground-to-Train

TETSUYA ARITA<sup>†2</sup> and FUMIO TERAOKA<sup>†2</sup>

In recent years, network Mobility becomes one of popular topics of research, which a network consisted of some nodes moves in the Internet. The task was to provide 1 Gbps bandwidth for all passengers in High-speed Ground-to-Train which reaches 300 km/h by using an infrared communication system and to achieve fast handover in IPv6. In this paper we used MOasic Support Protocol and Cross-layer control information change between arbitrary Layers C L. C L is the Cross-layer function to transmit information for fast handover from L2 to L3. We implemented the system on et SD and thoroughly evaluated its performance by emulation. in the result, the proposed mechanism was effective.

### 1.はじめに

本研究の目的は高速列車の乗客が持ち込んだ携帯機器に移動透過程かつ高速なインターネット通信環境を提供することである。乗客が持ち込む機器がMobile IPv6<sup>†1</sup>のようなホストモビリティプロトコルを搭載していることは想定できない、そこで乗客が持ち込む機器はモビリティプロトコルを搭載しない通常の機器を想定し、列車に設置されたMobile Router (MR)にIEEE802.11の無線LANで接続する環境を想定する。そしてMRは地上側に設置されたAccess Router (AR)間をハンドオーバしながら乗客が持ち込む機器に移動透過的なインターネット接続を提供する。すなわち列車内に設置されたLANがインターネット内を移動することになるため、ホストモビリティプロトコルではなくネットワークモビリティプロトコルであるNEMO Basic Support Protocol<sup>†2</sup>の利用が必要となる。また、本研究では列車全体に1Gbps以上の通信帯域を提供することを目指とし、MRとAR間の通信には赤外線通信を用いる。そのための赤外線通信装置は慶應義塾大学大学院システムデザイン・マネジメント研究科教授の春山真一郎氏と(財)鉄道総合技術研究所によって現在開発されている。

シームレスな移動透過通信を乗客に提供するにはハンドオーバを高速に実行する必要がある。本研究室では、クロスレイヤ協調を利用して無線LAN環境における高速ハンドオーバ手法であるL3-driven fast handover<sup>†3,4)</sup>を実現している。この手法ではリンク層(L2)が受信信号強度からハンドオーバを予測するとクロスレイヤ協調手法によってネットワーク層(L3)にこの事象を伝える。L3はハンドオーバの準備を完了した後、L2にハンドオーバ開始を指示する。L2はハンドオーバが終了すると、この事象をL3に伝える。その後、L3はL3におけるハンドオーバ処理(サーバへの新しいIPアドレスの登録など)を実行する。以上のような仕組みにより、10数ミリ秒でのハンドオーバを実現している。しかし、無線LANの場合は受信信号強度からハンドオーバの事前予測が可能であったが、赤外線通信装置では同様な手法を利用することができないため、L3-driven fast handoverとは異なるクロスレイヤ手法が必要となる。そこで本論文ではMR側の赤外線通信装置が、AR側の赤外線通信装置との通信リンクの確立情報(LinkUp/Down)をMRに伝えるようになした。MRのL3はLinkDown後のLinkUpを赤外線通信装置から受け取るとL3のハ

<sup>†1</sup> 慶應義塾大学大学院理工学研究科

<sup>†2</sup> Keio University

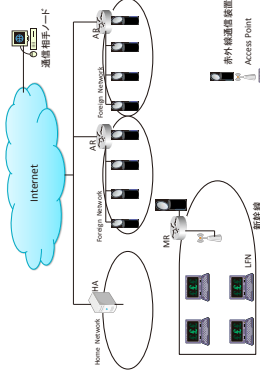


図 1 本研究で用いるネットワーク

ンドオーバーハンドオーバーを実行し、高速ハンドオーバーを実現する提案手法を NetBSD 上で NEMO Basic Support を実現するソフトウェアである SHISA に実装し、基本性能を測定する。

## 2. NEMO Basic Support Protocol の概要

NEMO Basic Support Protocol は Mobile IPv6 に基づいたネットワークモビリティプロトコルである。NEMO が移動透過程性を提供するネットワークを Mobile Network と呼ぶ。本研究でのネットワークを図 1 に表す。ネットワークは列車内ネットワークと地上側ネットワークに分かれており、赤外線リンクで接続している。列車内ネットワークには MR、乗客が持ち込むモビリティをサポートしない端末である Local Fixed Node (LFN) が Mobile Network を構成している。列車内の赤外線通信装置は MR と接続している。また、Mobile Router (AR) によって地上側ネットワークは構成されている。

MR は移動によって変化しない識別子として Home Address (HoA) を持つ。また、移動先のリンクで一時的に割り当てられる位置指示子として Care-of Address (CoA) を持つ。MR は CoA を取得すると HA へ Binding Update (BU) と呼ばれるメッセージを送信する。ここで、HA で HoA と CoA を対応付ける。HA は Binding Cache (BC) と呼ばれる HoA と CoA の対応付けを生成すると Binding Acknowledge (BA) と呼ばれるメッセージを MR へ送信する。HoA、CoA は通常の IPv6 アドレスと同じでネットワークプレフィックスとインターフェース識別子から成る。CoA は Home Link とは別のリンクである Foreign Link に接続したとき、IPv6 Stateless Address Autoconfiguration や DHCPv6 を利用して CoA を取得する。

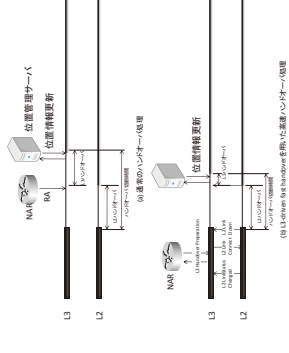


図 2 3-driven ast an over the air の処理の流れ

MR は Mobile Network への経路情報を広告しない、MR の代わりに HA が Mobile Network への経路情報を広告する。Mobile Network 宛てのパケットはいったん HA に到達する。HA は MR との間に双向方向トンネルを設定し、パケットを送信することによって Mobile Network へ移動透過程性を提供している。また、Mobile Network からのパケットは MR によってトンネリングされ HA へ転送される。HA は受信したパケットを宛先へ転送する。以上のように NEMO Basic Support を用いることで MR はアドレスが変化しても通信を継続することが可能となる。

## 3. クロスレイヤ手法を利用した高速ハンドオーバ手法

### 3.1 無線 LAN における高速ハンドオーバ手法

本節では無線 LAN における高速ハンドオーバの処理を、移動端末である Mobile Node (MN) がネットワークを移動するホストモビリティを用いて説明する。  
L3-driven fast handover はリンク層の切断や接続といった情報をネットワーク層でも利用できるようにし、リンク層の状態の変化に応じたネットワーク層の処理を速やかに開始する手法である。このリンク層の情報をネットワーク層が利用するためのレイヤ間情報伝達機構 inter Layer Information Exchange System (LIES) を用いる。

図 2 に通常のハンドオーバ処理の流れと L3-driven fast handover による高速ハンドオーバ処理の流れを示す。  
通常のハンドオーバ処理では MN は無線リンクが切断すると、L2 ハンドオーバを実行する。移動したリンクにおいて L3 は Router Advertisement (RA) を受け取ることによつて、サブネット間ハンドオーバかどうかを判断する。サブネット間ハンドオーバと判断した

場合、L3 ハンドオーバーを開始する。新たなサブネットにおいて、MN は IP アドレスを設定する。設定した IP アドレスが重複していないことを確認するために MN は Duplicated Address Detection (DAD) 処理を行う必要がある。

ルータは MN からの Router Solicitation (RS) を受信したあと、RA を返す前にランダム時間待機する。このランダムな時間は 0 s~0.5 s である。また DAD 処理において、MN は Neighbor Solicitation (NS) をマルチキャストアドレスに送信する。もしアドレスの重複したノードが新たなサブネットに存在した場合、MN が送信した NS に対してノードは Neighbor Advertisement (NA) を返信する。NA は NS を受信してから 1 s 以内に返信するため、DAD 処理に必要な時間は 1 s である。

図 2 に L3-driven fast handover による高速ハンドオーバー処理の流れを示す。MN の L3 は、LIES を介して L2-LinkStatusChanged を受信し、L2 ハンドオーバーの発生を予測すると、次に接続する AR (Next AR: NAR) へ L3 Handover Preparation メッセージを送信し、DAD 処理を要請する。NAR は MN から L3 Handover Preparation メッセージを受信すると DAD 処理を行い、その結果を MN へ返す。MN は LIES を介して L2 へ L2-LinkConnect を送信し、指定した Access Point (AP) への L2 ハンドオーバーの開始を指示する。MN の L3 は LIES を介して L2 から L2-LinkUp を受信し L2 ハンドオーバーの完了を検出すると、ハンドオーバー後の位置情報更新のために、位置管理サーバへ位置登録を行う。L3-driven fast handover では、L3 ハンドオーバー処理の一部である DAD を L2 ハンドオーバーの完了前に行うことで L3 ハンドオーバーに要する時間の短縮を実現している。また、L3 は L2 から L2-LinkUp を受信することで L2 ハンドオーバーの完了を検知することが可能であるため、L2 ハンドオーバー完了から L3 ハンドオーバー開始までの待ち時間がない。したがって、L3-driven fast handover (ハンドオーバー) に要する処理時間を大幅に短縮することができる。

### 3.2 赤外線通信装置での問題点

本研究では、通信装置に赤外線通信装置を用いる。本節では赤外線通信装置を用いた場合の問題点について述べる。

本研究で用いる赤外線通信装置は地上側に数百 m 間隔で設置し、列車上の赤外線通信装置と接続し、次々と切り替えていくことで、列車内のネットワークと地上側のネットワークを接続する。列車上の赤外線通信装置（車上赤外線通信装置）は列車内ネットワークのデフォルトルータである MR とイーサネットケーブルで接続されている。そのため MR から見ると常にハンドオーバーとなる。つまり、車上赤外線通信装置と地上側赤外線通

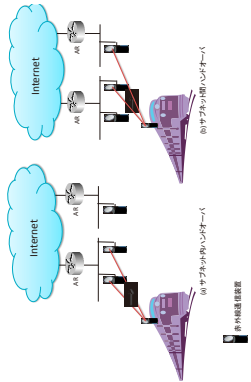


図 3 ハンドオーバーの種類

信装置間のリンクが LinkDown から LinkUp の状態に変化しても、MR はそれを検知することができない。そのため L2 ハンドオーバー完了した後、L3 ハンドオーバーを開始することができるない。これができないという問題がある。

また、ハンドオーバー直後は赤外線リンクの接続が不安定であるため、通信の再開に適しない場合がある。リンクが不安定な状態で、MR が L3 ハンドオーバーを開始すると、HA への位置情報更新メッセージなどが損失することが考えられる。ハンドオーバー処理中のメッセージの損失は高速ハンドオーバーにおいて致命的な遅延となる。このため、赤外線通信装置が L2 ハンドオーバーを完了し、リンクが安定した直後に MR は L3 ハンドオーバーを開始しなければならない。

図 3 のように、ハンドオーバーにはサブネット内ハンドオーバーとサブネット間ハンドオーバーの 2 種類がある。現在接続中の地上赤外線通信装置と同じ AR に接続している地上赤外線通信装置に切り替えるハンドオーバーのことをいう。サブネット内ハンドオーバーでは、ネットワーク層から見ると IP アドレスが変化しないため、L3 ハンドオーバーは発生しない。そのため、サブネット内ハンドオーバーとは、現在接続中の地上赤外線通信装置の切り替え (L2 ハンドオーバー) のみで通信の再開が可能となる。一方、サブネット間ハンドオーバーは異なる AR に接続した赤外線通信装置へと切り替えるハンドオーバーをいう。この場合、IP アドレスが変化するため、ネットワーク層から見ても移動しているため、HA への位置情報登録などの処理が必要となる。高速ハンドオーバーにはハンドオーバーの種類を高速に判断することが必要となる。

## 4. 提案手法

本章では、本研究における赤外線通信装置を用いた高速ハンドオーバー手法を提案・設計

する。

#### 4.1 L2 状態の取得方法

本研究では赤外線通信装置の組み込み Linux と MR をイーサネットケーブルで接続し、赤外線通信装置の接続状況を検知できるようにする。赤外線通信装置の接続状況を表すために LinkInfo というイーサネットフレームを定義する。MR は LinkInfo を車上赤外線通信装置から受信することによって赤外リンクの状態の変化を検知することができる。赤外線通信装置は L2 ハンドオーバを完了し、赤外リンクが安定すると LinkUp を MR の L2 へ送信する。MR 内ではこれを L3 に通知する。これにより MR の L3 は L2 ハンドオーバの完了を検知し、L3 ハンドオーバを開始することができる。

#### 4.2 ハンドオーバタイプの判断

高速ハンドオーバを行つためにはハンドオーバのタイプを判断する必要がある。MR は LinkUp を受信すると RS を送信する。MR からの RS を受信した AR は RA を送信する。MR は RA を受信するとネットワークフレイクスからハンドオーバのタイプを判断する。ハンドオーバがサブネット間ハンドオーバであると判断した場合、MR の L3 は L3 ハンドオーバを開始する。

RA を拡張することで MR に様々な情報を知らせることが可能である。

#### 4.3 ハンドオーバ処理の流れ

サブネット間ハンドオーバ時の L2 ハンドオーバの完了後の手順を本章で説明する。簡略化のため、MR 内でのレイヤ間の制御情報伝達流れは省略する。AR は RS を受信すると RA を MR へ送信するが、AR は RA を MR へ送信する前にランダムな時間待機する。これは複数の AR が同時に MR へ RA を送信しないためである。本研究では MR が接続する AR の数は同時に RA を受信しても処理速度に問題ない数を想定しており、ランダムな時間待機する必要がない。そのため、この待機時間は不要であるため、待機時間を 0 s に変更する。

同様に DAD 処理によって起きる遅延であるが、これも本研究では MR のインターフェース ID は重複しないように割り当てるため、同一サブネット内で MR のアドレスは常に一意である。そのため、MR は DAD 処理を行う必要がない、したがって MR の DAD 処理を行わないことで、DAD 処理によって生じる遅延を回避することができる。

以下にハンドオーバ手順を示す。

- MR は車上赤外線装置の組み込み Linux が送信する LinkUp を受信し、L2 ハンド

オーバの完了を検知する。

- MR は全レータマルチキャストアドレス宛ての RS を送信する。
- AR は RS を受信すると即時に RA を返す。
- MR は RA を受け取るとアドレス自動設定を行い新しい CoA を生成する。
- MR 自身の位置を管理する HA に BU を送信し、新しい CoA を更新する。
- L3 ハンドオーバである場合、MR の位置を更新する。
- MR は HA から BA を受信することにより、通信を再開することが可能となる。以上のハンドオーバ手順により、MR はサブネット間ハンドオーバであっても速やかに通信を継続することが可能となる。

## 5. 実装

- 本研究では、MR に提案手法の実装をした。オペレーティングシステム(OS)に MR、HA は NetBSD 4.99、AR は Ubuntu 8.0.4 を用いている。MR、HA はソフトウェアに SHISA を使用している。SHISA は NetBSD 4.99 に実装された Mobile IPv6、NEMO Basic Support を実現するソフトウェアである。

本研究では、赤外線通信装置から送られてくる LinkUp を利用し高速にハンドオーバを行いうるユーザランドデーモンプロセスである fhod を実装した。図 4 は SHISA のデーモンプロセスと fhod の実装モジュールである。

fhod は LinkUp を受信するとすると RS を AR へ送信する。これにより、スイッチングハブ内部の経路表を更新する。RS への応答である RA を受信した fhod は RA からフレイクス情報を取得し、現在の CoA と比較する。fhod はハンドオーバがサブネット間ハンドオーバであると検知した場合、L3 ハンドオーバを実行する。RA を受信した後に生成される CoA と HoA を格納した mip メッセージを mip socket を通じて SHISA の mrd に送ることで、fhod は mrd に BU を送信することを要求する。mip socket は raw socket であり、raw socket を用いることでリンクレベルヘッダを含まない raw データグラムの送受信ができる。fhod は mip socket にパケットを送信することで、同じく mip socket を開いている mrd に BU の送信を要求することができる。

## 6. 評価と考察

- また、実験ネットワーク環境を図 5 に示す。

まず (a)–(b) の区間は非常に高速であり、通信への影響が少ないことがわかる。(b)–(c) の区間は RS メッセージを受信した AR が RA が RS メッセージを返信する際にランダムな時間待機してから返信するために、大きな遅延が生じる。実際に MR から標準設定の AR に RS を送り応答時間を測定した結果、その遅延は平均して 2.2 sec であるが、本提案方式では RA の待機時間を 0 sec にしているため、遅延を回避できていることがわかる。(c)–(d) の区間では、通常のハンドオーバーでは DAD 処理を行うため、さらに大きな遅延が生じる。通常 DAD 処理は約 1 sec を要する。本提案手法では、高速鉄道が走行する環境においては、MR には個別のリンクローカルアドレスを割り当てることが可能であると想定できるため、DAD 処理を行わなければ遅延を削減することができる。(d)–(e) は CoA の更新時間である実際の通信切断時間は、本研究で計測した時間に L2 ハンドオーバーの時間が加わる。

## 6.2 パケットロス率の評価

本項では、本研究室で開発した、仮想的に無線基地局を複数生成し、それぞれの無線基地局がどの AR に接続するかを設定することのできる無線環境エミュレータを用いて、高速鉄道が走行している環境をエミュレートしてパケットロスについて評価する。図 7 は実際には想定されるネットワーク環境である。この環境を再現するために、実験では図 5 のようなネットワークプロジェクトを用いた。列車はネットワークに接続しながら走行することを考慮すると、MR – CN 間の遅延はそれぞれ同時に増加すると考えられる。そこで、図 5 に示すように Ubuntu マシンである AR1 において任意の遅延を発生させる機能を持つ netem を使用し、HA, CN に対して遅延を発生させることで、実際の環境に近づけることが可能となる。本研究ではケーススタディとして、東京 – 新大阪間の東海道新幹線

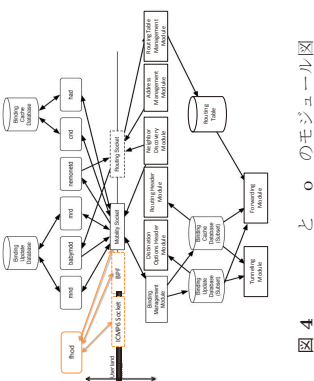


図 4 と 5 のモジュール図

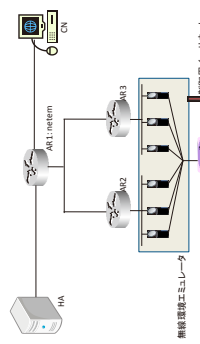


図 5 実験のネットワーク環境

## 6.1 高速ハンドオーバ手法の性能評価

本研究で提案した高速ハンドオーバ手法を用いた際に生じる通信切断時間を計測した。図 6 における (a)–(e) の意味を以下に示す。

- 赤外線通信装置が L2 ハンドオーバーを完了し、MR に LinkUp を通知する。
- MR の L3 は L2 ハンドオーバーの通知を受け L3 ハンドオーバーを開始する。MR は AR に RS メッセージを送信する。
  - MR は RA メッセージを受信し、それを基に CoA, デフォルトルータを設定する。
  - CoA を更新するため MR は HA に BU メッセージを送信する。
  - MR は HA から BA メッセージを受信することで通信を開始する。
- 通信時間は fload 内で gettimeofday() 関数を使用することで測定した。(a)–(e) のそれぞれの時刻を記録し、各区間に要する処理時間(=記録した時刻 - 時刻)を記録した。

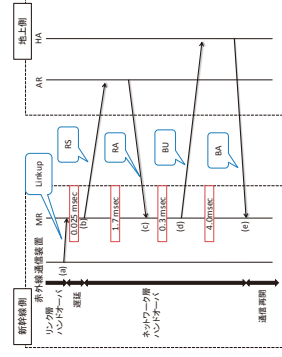


図 6 高速ハンドオーバ手法

における高速通信環境を想定すると、netem が発生させる遅延は大阪までの RTT 程度の遅延を考えればよいと考えられる。東京—新大阪間の RTT は約 15 msec となっている。

また、列車の走行速度を 300 km/h と想定すると、MR のハンドオーバーはおよそ 5 秒に 1 回の頻度で発生する。そのうち約 100 回に 1 回の頻度でサブネット間ハンドオーバーが発生する。本研究では、想定する高速鉄道環境よりサブネット間ハンドオーバーの頻度が高い状況で実験を行った。無線環境エミュレータに設定するシナリオスクリプトを作成し、以下のような環境に設定した。

- 1 つの AP に 10 台の Access Point (AP) を接続する。
  - 赤外線通信装置によるパケットロス率は 0 % であると設定した。
  - ハンドオーバーは 5 秒に 1 回の頻度で発生し、10 回に 1 回の頻度でサブネット間ハンドオーバーが発生する。
- 無線環境エミュレータの設定の下、HA – MR 間、MR – CN 間の RTT を 0 ~ 30 msec の間で変化させ、CN から MR へ UDP を用いて、1 Mbps の帯域で送信し、その平均パケットロス率を測定した。

5 秒に 1 回の頻度でハンドオーバーが発生し、うち 10 回に 1 回の頻度でサブネット間ハンドオーバーをする場合の平均パケットロスを図 8 に示す。図 8 の x 軸は MR と HA 間の RTT、y 軸はハンドオーバー時の平均パケットロス率である。L2 ハンドオーバーの処理時間に関わらず、MR – HA 間の RTT が増加するにつれて、パケットロス率も増加している。L2 ハンドオーバーの処理時間ごとに比較すると、L2 ハンドオーバーの処理時間とパケットロス率は比例関係にあることがわかる。MR – HA 間の RTT が 30 msec かつ L2 ハンドオーバーの処理時間が 100 msec の場合でも平均パケットロス率は 2 % 程度であり、通信の継続に大きく影響

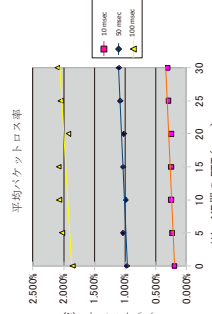


図 8 パケットロス率の測定

- 1 つの AR に 10 台の Access Point (AP) を接続する。
  - 赤外線通信装置によるパケットロス率は 0 % であると設定した。
  - ハンドオーバーは 5 秒に 1 回の頻度で発生し、10 回に 1 回の頻度でサブネット間ハンドオーバーが発生する。
- 無線環境エミュレータの設定の下、HA – MR 間、MR – CN 間の RTT を 0 ~ 30 msec の間で変化させ、CN から MR へ UDP を用いて、1 Mbps の帯域で送信し、その平均パケットロス率を測定した。

5 秒に 1 回の頻度でハンドオーバーが発生し、うち 10 回に 1 回の頻度でサブネット間ハンドオーバーをする場合の平均パケットロスを図 8 に示す。図 8 の x 軸は MR と HA 間の RTT、y 軸はハンドオーバー時の平均パケットロス率である。L2 ハンドオーバーの処理時間に関わらず、MR – HA 間の RTT が増加するにつれて、パケットロス率も増加している。L2 ハンドオーバーの処理時間ごとに比較すると、L2 ハンドオーバーの処理時間とパケットロス率は比例関係にあることがわかる。MR – HA 間の RTT が 30 msec かつ L2 ハンドオーバーの処理時間が 100 msec の場合でも平均パケットロス率は 2 % 程度であり、通信の継続に大きく影響しないことがわかった。

本実験によって、高速ハンドオーバー手法の使用によってハンドオーバーの際に生じるパケットロスが通信にはほとんど影響を与えない程度のものであることを示した。

## 7. オわりに

本研究では高速鉄道において高速なインターネット通信を提供するために必要な赤外線通信装置を用いた高速ハンドオーバー手法を提案した。提案手法を NetBSD 上に実装しハンドオーバーに必要な処理時間を計測し、処理時間によって生じるパケットロスが通信に影響を与えない程度のものであることを示した。現在、本研究では Linux 環境で高速ハンドオーバー手法を実装している。

## 参考文献

- 1) D.Johnson, C.Perkins, and J.Arkko. Mobility Support in IPv6. RFC3775, IETF, Jun. 2004.
- 2) V.Devarapalli, R.Wakikawa, A.Petrescu, and P.Thubert. Network Mobility (NEMO) Basic Support Protocol. RFC3963, IETF, Jan. 2005.
- 3) F.Teraoka, K.Gogo, R.Shibui K.Mitsuya, and K.Mitani. Uni ed Layer 2 (L2) Abstractions for Layer 3 (L3)-Driven Fast Handover. RFC5184, IETF, May. 2008.
- 4) Kazutaka Gogo, Rie Shibui, and Fumio Teraoka. An L3-Driven Fast Handover Mechanism in IPv6 Mobility. In SAINT 2006 Workshops, pp. 10–13, January 2006.
- 5) Keiichi Shima, Kosho Mitsuwa, Ryuji Wakikawa, Tsuyoshi Monose, and Keisuke Uehara. SHISA: The Mobile IPv6/NEMO BS Stack Implementation Current Status. In Proceedings of Asia BSD Conference 2007 (AsiaBSDon2007), Mar. 2007.

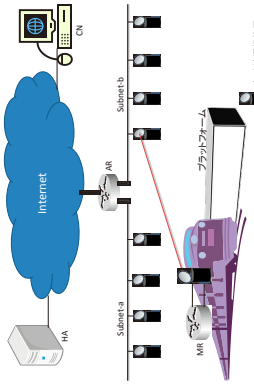


図 7 想定されるネットワーク環境